

STATISTICA

Analisi 4.4.3.2 (5ª Parte)

In questo numero verranno esposti i dati statistici riguardanti le linee con un fit più lungo di 10 carte che possono venire a costituirsi partendo con una mano a distribuzione 4.4.3.2.

fit XI

Le linee con fit undecimo sono 21 delle 108 possibili, e più precisamente:

11.11.4.0

11.11.3.1

11.11.2.2

11.10.5.0

11.10.4.1

11.10.3.2

11.9.6.0

11.9.5.1

11.9.4.2

11.9.3.3

11.8.7.0

11.8.6.1

11.8.5.2

11.8.4.3

11.7.7.1

11.7.6.2

11.7.5.3

11.7.4.4

11.6.6.3

11.6.5.4

11.5.5.5

Partendo con una 4.4.3.2, le 10 linee dell'elenco con meno di due carte o con due doubleton (in blu) non è chiaramente possibile formarle e, pertanto, rimangono da analizzare le rimanenti 11.

La linea di doppio fit 11.10.3.2 può configurarsi in 2 modi diversi:

| Prg. | Ovest | Est | | | | linea EO | | | |
|------|---------|-----|---|---|---|----------|----|---|---|
| 1 | 4.4.3.2 | 7 | 6 | 0 | 0 | 11 | 10 | 3 | 2 |
| 2 | | 6 | 7 | 0 | 0 | 10 | 11 | 3 | 2 |

La popolazione di ognuna delle 2 linee 11.10.3.2 configurabili è esposta nella tabella che segue:

| | Popolazione | rel. |
|--|------------------------|------------|
| | 486.927.675.200 | 0% |
| | 486.927.675.200 | 0% |
| | 973.855.350.400 | 00% |

Come potete dedurre esaminando i dati delle ultime due tabelle, i due fit si vengono sempre a formare in corrispondenza delle due quarte della mano di partenza.

La linea di doppio fit 11.9.4.2 può configurarsi in 6 modi diversi:

| Prg. | Ovest | Est | | | | linea EO | | | |
|------|---------|-----|---|---|---|----------|----|----|---|
| 1 | 4.4.3.2 | 7 | 0 | 6 | 0 | 11 | 4 | 9 | 2 |
| 2 | | 7 | 5 | 1 | 0 | 11 | 9 | 4 | 2 |
| 3 | | 5 | 7 | 1 | 0 | 9 | 11 | 4 | 2 |
| 4 | | 0 | 7 | 6 | 0 | 4 | 11 | 9 | 2 |
| 5 | | 0 | 5 | 8 | 0 | 4 | 9 | 11 | 2 |
| 6 | | 5 | 0 | 8 | 0 | 9 | 4 | 11 | 2 |

La popolazione di ognuna delle 6 linee 11.9.4.2 configurabili è esposta nella tabella seguente:

| L | Popolazione | F. rel. |
|---|------------------------------|---------------|
| 1 | 86.217.319.188.000 | 6,5% |
| 2 | 517.303.915.128.000 | 38,7% |
| 3 | 517.303.915.128.000 | 38,7% |
| 4 | 86.217.319.188.000 | 6,5% |
| 5 | 64.662.989.391.000 | 4,8% |
| 6 | 64.662.989.391.000 | 4,8% |
| | 1.336.368.447.414.000 | 100,0% |

Come potete dedurre esaminando i dati delle ultime due tabelle, il fit undecimo si viene a formare in corrispondenza di uno dei due colori quarti in 4 casi, pari al 90,3% del totale, mentre, nei rimanenti 2, pari al 9,7%, si viene a formare in corrispondenza del tripleton.



In un solo caso i fit coincidono entrambi con le due quarte di partenza (38,7%).

La linea di doppio fit 11.9.3.3 può configurarsi in 2 modi diversi:

| Prg. | Ovest | Est | | | | linea EO | | | |
|------|---------|-----|---|---|---|----------|----|---|---|
| 1 | 4.4.3.2 | 7 | 5 | 0 | 1 | 11 | 9 | 3 | 3 |
| 2 | | 5 | 7 | 0 | 1 | 9 | 11 | 3 | 3 |

La popolazione di ognuna delle 2 linee 11.9.3.3 configurabili è esposta nella tabella che segue.

| L | Popolazione | F. rel. |
|---|------------------------------|-------------|
| 1 | 569.034.306.640.800 | 50% |
| 2 | 569.034.306.640.800 | 50% |
| | 1.138.068.613.281.600 | 100% |

Come potete dedurre esaminando i dati delle ultime due tabelle, i due fit si vengono sempre a formare in corrispondenza delle due quarte della mano di partenza.

La linea di doppio fit 11.8.5.2 può configurarsi in 6 modi diversi:

| Prg. | Ovest | Est | | | | linea EO | | | |
|------|---------|-----|---|---|---|----------|----|----|---|
| 1 | 4.4.3.2 | 7 | 1 | 5 | 0 | 11 | 5 | 8 | 2 |
| 2 | | 7 | 4 | 2 | 0 | 11 | 8 | 5 | 2 |
| 3 | | 4 | 7 | 2 | 0 | 8 | 11 | 5 | 2 |
| 4 | | 1 | 7 | 5 | 0 | 5 | 11 | 8 | 2 |
| 5 | | 1 | 4 | 8 | 0 | 5 | 8 | 11 | 2 |
| 6 | | 4 | 1 | 8 | 0 | 8 | 5 | 11 | 2 |

La popolazione di ognuna delle 6 linee 11.8.5.2 configurabili è esposta nella tabella seguente:

| L | Popolazione | F. rel. |
|---|------------------------------|---------------|
| 1 | 931.147.047.230.400 | 12,1% |
| 2 | 2.327.867.618.076.000 | 30,3% |
| 3 | 2.327.867.618.076.000 | 30,3% |
| 4 | 931.147.047.230.400 | 12,1% |
| 5 | 581.966.904.519.000 | 7,6% |
| 6 | 581.966.904.519.000 | 7,6% |
| | 7.681.963.139.650.800 | 100,0% |

Come potete dedurre esaminando i dati delle ultime due tabelle, il fit undecimo si viene a formare in corrispondenza di uno dei due colori quarti in 4 casi pari all'84,83% del totale, mentre, nei rimanenti 2, pari al 15,2%, si forma in corrispondenza del tripleton.

In un solo caso i fit coincidono entrambi con le due quarte di partenza (30,3%).

La linea di doppio fit 11.8.4.3 può configurarsi in 12 modi diversi:

| Prg. | Ovest | Est | | | | linea EO | | | |
|------|---------|-----|---|---|---|----------|----|----|----|
| 1 | 4.4.3.2 | 7 | 0 | 5 | 1 | 11 | 4 | 8 | 3 |
| 2 | | 7 | 0 | 0 | 6 | 11 | 4 | 3 | 8 |
| 3 | | 7 | 4 | 1 | 1 | 11 | 8 | 4 | 3 |
| 4 | | 7 | 4 | 0 | 2 | 11 | 8 | 3 | 4 |
| 5 | | 4 | 7 | 1 | 1 | 8 | 11 | 4 | 3 |
| 6 | | 4 | 7 | 0 | 2 | 8 | 11 | 3 | 4 |
| 7 | | 0 | 7 | 5 | 1 | 4 | 11 | 8 | 3 |
| 8 | | 0 | 7 | 0 | 6 | 4 | 11 | 3 | 8 |
| 9 | | 0 | 4 | 8 | 1 | 4 | 8 | 11 | 3 |
| 10 | | 0 | 4 | 0 | 9 | 4 | 8 | 3 | 11 |
| 11 | | 4 | 0 | 8 | 1 | 8 | 4 | 11 | 3 |
| 12 | | 4 | 0 | 0 | 9 | 8 | 3 | 4 | 11 |

La popolazione di ognuna delle 12 linee 11.8.4.3 configurabili è esposta nella tabella seguente:

| L | Popolazione | F. rel. |
|----|-------------------------------|---------------|
| 1 | 1.138.068.613.281.600 | 5,3% |
| 2 | 189.678.102.213.600 | 0,9% |
| 3 | 5.690.343.066.408.000 | 26,7% |
| 4 | 2.845.171.533.204.000 | 13,4% |
| 5 | 5.690.343.066.408.000 | 26,7% |
| 6 | 2.845.171.533.204.000 | 13,4% |
| 7 | 1.138.068.613.281.600 | 5,3% |
| 8 | 189.678.102.213.600 | 0,9% |
| 9 | 711.292.883.301.000 | 3,3% |
| 10 | 79.032.542.589.000 | 0,4% |
| 11 | 711.292.883.301.000 | 3,3% |
| 12 | 79.032.542.589.000 | 0,4% |
| | 21.307.173.481.994.400 | 100,0% |

Come potete dedurre esaminando i dati delle ultime due tabelle, il fit undecimo si viene a formare in corrispondenza di uno dei due colori quarti in 8 casi pari a circa il 92,6% del totale, mentre, nei rimanenti 4 casi pari a circa il 7,4% del totale, si configura in corrispondenza di uno dei due colori corti (2 e 2). In particolare, nel 6,7% in corrispondenza del tripleton e nello 0,7% in corrispondenza del doubleton.

In 4 casi i fit coincidono con entrambe le quarte di partenza (80,1%).

Il fit ottavo si viene a formare in due casi in corrispondenza del tripleton (10,6%) e nei rimanenti due, in corrispondenza del doubleton (1,8%).

La linea di fit 11.7.6.2 può configurarsi in 6 modi diversi:

| Prg. | Ovest | Est | | | | linea EO | | | |
|------|---------|-----|---|---|---|----------|----|----|---|
| 1 | 4.4.3.2 | 7 | 2 | 4 | 0 | 11 | 6 | 7 | 2 |
| 2 | | 7 | 3 | 3 | 0 | 11 | 7 | 6 | 2 |
| 3 | | 3 | 7 | 3 | 0 | 7 | 11 | 6 | 2 |
| 4 | | 2 | 7 | 4 | 0 | 6 | 11 | 7 | 2 |
| 5 | | 2 | 3 | 8 | 0 | 6 | 7 | 11 | 2 |
| 6 | | 3 | 2 | 8 | 0 | 7 | 6 | 11 | 2 |

La popolazione di ognuna delle 6 linee 11.7.6.2 configurabili è esposta nella tabella seguente:

| L | Popolazione | F. rel. |
|---|-------------------------------|---------------|
| 1 | 3.103.823.490.768.000 | 17,6% |
| 2 | 4.138.431.321.024.000 | 23,5% |
| 3 | 4.138.431.321.024.000 | 23,5% |
| 4 | 3.103.823.490.768.000 | 17,6% |
| 5 | 1.551.911.745.384.000 | 8,8% |
| 6 | 1.551.911.745.384.000 | 8,8% |
| | 17.588.333.114.352.000 | 100,0% |

Come potete dedurre esaminando i dati delle ultime due tabelle, il fit undecimo si viene a formare in corrispondenza di uno dei due colori quarti in 4 casi pari all'82,4% del totale, mentre, nei rimanenti 2, pari al 17,6%, si forma in corrispondenza del tripleton.



La linea di fit 11.7.5.3 può configurarsi in 12 modi diversi.

| Prg. | Ovest | Est | | | | linea EO | | | |
|------|---------|-----|---|---|---|----------|----|----|----|
| 1 | 4.4.3.2 | 7 | 1 | 4 | 1 | 11 | 5 | 7 | 3 |
| 2 | | 7 | 1 | 0 | 5 | 11 | 5 | 3 | 7 |
| 3 | | 7 | 3 | 2 | 1 | 11 | 7 | 5 | 3 |
| 4 | | 7 | 3 | 0 | 3 | 11 | 7 | 3 | 5 |
| 5 | | 3 | 7 | 2 | 1 | 7 | 11 | 5 | 3 |
| 6 | | 3 | 7 | 0 | 3 | 7 | 11 | 3 | 5 |
| 7 | | 1 | 7 | 4 | 1 | 5 | 11 | 7 | 3 |
| 8 | | 1 | 7 | 0 | 5 | 5 | 11 | 3 | 7 |
| 9 | | 1 | 3 | 8 | 1 | 5 | 7 | 11 | 3 |
| 10 | | 1 | 3 | 0 | 9 | 5 | 7 | 3 | 11 |
| 11 | | 3 | 1 | 8 | 1 | 7 | 5 | 11 | 3 |
| 12 | | 3 | 1 | 0 | 9 | 7 | 5 | 3 | 11 |

La popolazione di ognuna delle 12 linee 11.7.5.3 configurabili è esposta nella tabella seguente:

| L | Popolazione | F. rel. |
|----|-------------------------------|---------------|
| 1 | 8.535.514.599.612.000 | 11,3% |
| 2 | 1.707.102.919.922.400 | 2,3% |
| 3 | 17.071.029.199.224.000 | 22,6% |
| 4 | 5.690.343.066.408.000 | 7,5% |
| 5 | 17.071.029.199.224.000 | 22,6% |
| 6 | 5.690.343.066.408.000 | 7,5% |
| 7 | 8.535.514.599.612.000 | 11,3% |
| 8 | 1.707.102.919.922.400 | 2,3% |
| 9 | 4.267.757.299.806.000 | 5,7% |
| 10 | 474.195.255.534.000 | 0,6% |
| 11 | 4.267.757.299.806.000 | 5,7% |
| 12 | 474.195.255.534.000 | 0,6% |
| | 75.491.884.681.012.800 | 100,0% |

Come potete dedurre esaminando i dati delle ultime due tabelle, il fit undecimo si viene a formare in corrispondenza di uno dei due colori quarti in 8 casi pari a circa l'87,4% del totale, mentre, nei rimanenti 4 casi pari a circa il 12,6% del totale, si configura in corrispondenza di uno dei due colori corti (2 e 2). In particolare, nell'11,3% in corrispondenza del tripleton e nell'1,3% in corrispondenza del doubleton.



La linea di fit 11.7.4.4 può configurarsi in 12 modi diversi.

| Prg. | Ovest | Est | | | | linea EO | | | |
|------|---------|-----|---|---|---|----------|----|----|----|
| 1 | 4.4.3.2 | 7 | 3 | 1 | 2 | 11 | 7 | 4 | 4 |
| 2 | | 3 | 7 | 1 | 2 | 7 | 11 | 4 | 4 |
| 3 | | 3 | 0 | 8 | 2 | 7 | 4 | 11 | 4 |
| 4 | | 7 | 0 | 4 | 2 | 11 | 4 | 7 | 4 |
| 5 | | 0 | 3 | 8 | 2 | 4 | 7 | 11 | 4 |
| 6 | | 0 | 7 | 4 | 2 | 4 | 11 | 7 | 4 |
| 7 | | 0 | 7 | 1 | 5 | 4 | 11 | 4 | 7 |
| 8 | | 0 | 3 | 1 | 9 | 4 | 7 | 4 | 11 |
| 9 | | 0 | 0 | 4 | 9 | 4 | 4 | 7 | 11 |
| 10 | | 0 | 0 | 8 | 5 | 4 | 4 | 11 | 7 |
| 11 | | 3 | 0 | 1 | 9 | 7 | 4 | 4 | 11 |
| 12 | | 7 | 0 | 1 | 5 | 11 | 4 | 4 | 7 |

La popolazione di ognuna delle 12 linee 11.7.4.4 configurabili è esposta nella tabella seguente:

| L | Popolazione | F. rel. |
|----|-------------------------------|---------------|
| 1 | 18.967.810.221.360.000 | 33,1% |
| 2 | 18.967.810.221.360.000 | 33,1% |
| 3 | 2.370.976.277.670.000 | 4,1% |
| 4 | 4.741.952.555.340.000 | 8,3% |
| 5 | 2.370.976.277.670.000 | 4,1% |
| 6 | 4.741.952.555.340.000 | 8,3% |
| 7 | 1.896.781.022.136.000 | 3,3% |
| 8 | 526.883.617.260.000 | 0,9% |
| 9 | 131.720.904.315.000 | 0,2% |
| 10 | 237.097.627.767.000 | 0,4% |
| 11 | 526.883.617.260.000 | 0,9% |
| 12 | 1.896.781.022.136.000 | 3,3% |
| | 57.377.625.919.614.000 | 100,0% |

Come potete dedurre esaminando i dati delle ultime due tabelle, il fit undecimo si viene a formare in corrispondenza di uno dei due colori quarti in 6 casi pari a circa l'89,3% del totale, mentre, nei rimanenti 6 casi pari a circa il 10,7% del totale, si configura in corrispondenza di uno dei due colori corti (3 e 3). In particolare, nell'8,6% in corrispondenza del tripletton e nel 2,1% in corrispondenza del doubleton.

La linea di fit 11.6.5.4 può configurarsi in 24 modi diversi.

| Prg. | Ovest | Est | | | linea EO | | | | |
|------|---------|-----|---|---|----------|----|----|----|----|
| 1 | 4.4.3.2 | 7 | 1 | 3 | 2 | 11 | 5 | 6 | 4 |
| 2 | | 7 | 1 | 1 | 4 | 11 | 5 | 4 | 6 |
| 3 | | 7 | 2 | 2 | 2 | 11 | 6 | 5 | 4 |
| 4 | | 7 | 0 | 2 | 4 | 11 | 4 | 5 | 6 |
| 5 | | 7 | 0 | 3 | 3 | 11 | 4 | 6 | 5 |
| 6 | | 7 | 2 | 1 | 3 | 11 | 6 | 4 | 5 |
| 7 | | 2 | 7 | 2 | 2 | 6 | 11 | 5 | 4 |
| 8 | | 0 | 7 | 2 | 4 | 4 | 11 | 5 | 6 |
| 9 | | 2 | 7 | 1 | 3 | 6 | 11 | 4 | 5 |
| 10 | | 0 | 7 | 3 | 3 | 4 | 11 | 6 | 5 |
| 11 | | 2 | 0 | 8 | 3 | 6 | 4 | 11 | 5 |
| 12 | | 0 | 2 | 8 | 3 | 4 | 6 | 11 | 5 |
| 13 | | 1 | 7 | 3 | 2 | 5 | 11 | 6 | 4 |
| 14 | | 1 | 7 | 1 | 4 | 5 | 11 | 4 | 6 |
| 15 | | 1 | 2 | 8 | 2 | 5 | 6 | 11 | 4 |
| 16 | | 1 | 0 | 8 | 4 | 5 | 4 | 11 | 6 |
| 17 | | 1 | 0 | 3 | 9 | 5 | 4 | 6 | 11 |
| 18 | | 1 | 2 | 1 | 9 | 5 | 6 | 4 | 11 |
| 19 | | 2 | 1 | 8 | 2 | 6 | 5 | 11 | 4 |
| 20 | | 0 | 1 | 8 | 4 | 4 | 5 | 11 | 6 |
| 21 | | 2 | 1 | 1 | 9 | 6 | 5 | 4 | 11 |
| 22 | | 0 | 1 | 3 | 9 | 4 | 5 | 6 | 11 |
| 23 | | 0 | 2 | 2 | 9 | 4 | 6 | 5 | 11 |
| 24 | | 2 | 0 | 2 | 9 | 6 | 4 | 5 | 11 |

La popolazione di ognuna delle 24 linee 11.6.5.4 configurabili è la seguente:

| L | Popolazione | F. rel. |
|----|--------------------------------|---------------|
| 1 | 24.387.184.570.320.000 | 9,4% |
| 2 | 12.193.592.285.160.000 | 4,7% |
| 3 | 36.580.776.855.480.000 | 14,2% |
| 4 | 6.096.796.142.580.000 | 2,4% |
| 5 | 8.129.061.523.440.000 | 3,1% |
| 6 | 24.387.184.570.320.000 | 9,4% |
| 7 | 36.580.776.855.480.000 | 14,2% |
| 8 | 6.096.796.142.580.000 | 2,4% |
| 9 | 24.387.184.570.320.000 | 9,4% |
| 10 | 8.129.061.523.440.000 | 3,1% |
| 11 | 3.048.398.071.290.000 | 1,2% |
| 12 | 3.048.398.071.290.000 | 1,2% |
| 13 | 24.387.184.570.320.000 | 9,4% |
| 14 | 12.193.592.285.160.000 | 4,7% |
| 15 | 9.145.194.213.870.000 | 3,5% |
| 16 | 1.524.199.035.645.000 | 0,6% |
| 17 | 677.421.793.620.000 | 0,3% |
| 18 | 2.032.265.380.860.000 | 0,8% |
| 19 | 9.145.194.213.870.000 | 3,5% |
| 20 | 1.524.199.035.645.000 | 0,6% |
| 21 | 2.032.265.380.860.000 | 0,8% |
| 22 | 677.421.793.620.000 | 0,3% |
| 23 | 1.016.132.690.430.000 | 0,4% |
| 24 | 1.016.132.690.430.000 | 0,4% |
| | 258.436.414.266.030.000 | 100,0% |

Come potete dedurre esaminando i dati delle ultime due tabelle, il fit undecimo si viene a formare in corrispondenza di uno dei due colori quarti in 12 casi pari a circa l'86,5% del totale, mentre, nei rimanenti 12 casi (6 e 6) pari a circa il 13,5% del totale, si configura in corrispondenza di uno dei due colori corti. In particolare, nel 10,6% in corrispondenza del tripletton e nel 2,9% in corrispondenza del doubleton.

La linea di fit 11.5.5.5 può configurarsi in 4 modi diversi:

| Prg. | Ovest | Est | | | linea EO | | | | |
|------|---------|-----|---|---|----------|----|----|----|----|
| 1 | 4.4.3.2 | 7 | 1 | 2 | 3 | 11 | 5 | 5 | 5 |
| 2 | | 1 | 7 | 2 | 3 | 5 | 11 | 5 | 5 |
| 3 | | 1 | 1 | 8 | 3 | 5 | 5 | 11 | 5 |
| 4 | | 1 | 1 | 2 | 9 | 5 | 5 | 5 | 11 |

La popolazione di ognuna delle 6 linee 11.5.5.5 configurabili a partire da una mano di distribuzione 4.4.3.2 è esposta nella tabella seguente:

| L | Popolazione | F. rel. |
|---|-------------------------------|---------------|
| 1 | 27.435.582.641.610.000 | 42,9% |
| 2 | 27.435.582.641.610.000 | 42,9% |
| 3 | 6.858.895.660.402.500 | 10,7% |
| 4 | 2.286.298.553.467.500 | 3,6% |
| | 64.016.359.497.090.000 | 100,0% |

Come potete dedurre esaminando i dati delle ultime due tabelle, il fit undecimo si viene a formare in corrispondenza di uno dei due colori quarti in 2 casi pari all'85,7% del totale, mentre, nei rimanenti 2, pari al 14,3%, si forma una volta in corrispondenza del tripleton (10,7%) e l'altra in corrispondenza del doubleton (3,6%).

La linea di fit 11.6.3.3 può configurarsi in 6 modi diversi:

| Prg. | Ovest | Est | | | | linea EO | | | |
|------|---------|-----|---|---|---|----------|----|----|----|
| 1 | 4.4.3.2 | 7 | 2 | 0 | 4 | 11 | 6 | 3 | 6 |
| 2 | | 2 | 7 | 0 | 4 | 6 | 11 | 3 | 6 |
| 3 | | 2 | 7 | 3 | 1 | 6 | 11 | 6 | 3 |
| 4 | | 2 | 2 | 0 | 9 | 6 | 6 | 3 | 11 |
| 5 | | 2 | 2 | 8 | 1 | 6 | 6 | 11 | 3 |
| 6 | | 7 | 2 | 3 | 1 | 11 | 6 | 6 | 3 |

La popolazione di ognuna delle 6 linee 11.7.6.2 configurabili è esposta nella tabella seguente:

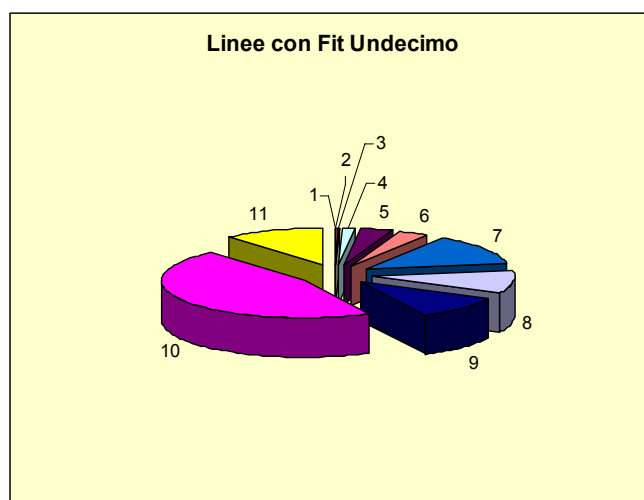
| L | Popolazione | F. rel. |
|---|-------------------------------|---------------|
| 1 | 4.877.436.914.064.000 | 8,6% |
| 2 | 4.877.436.914.064.000 | 8,6% |
| 3 | 19.509.747.656.256.000 | 34,3% |
| 4 | 812.906.152.344.000 | 1,4% |
| 5 | 7.316.155.371.096.000 | 12,9% |
| 6 | 19.509.747.656.256.000 | 34,3% |
| | 56.903.430.664.080.000 | 100,0% |

Come potete dedurre esaminando i dati delle ultime due tabelle, il fit undecimo si viene a formare in corrispondenza di uno dei due colori quarti in 4 casi pari all'85,7% del totale, mentre, nei rimanenti 2, pari al 14,3%, si forma una volta in corrispondenza del tripleton (12,9%) e l'altra in corrispondenza del doubleton (1,4%).



Ed ora, a seguire l'ormai consueto riepilogo dei dati.

| Pr. | linea | Popolazione | % |
|-----|-----------|--------------------------------|--------------|
| 1 | 11.10.3.2 | 68.973.855.350.400 | 0,02 |
| 2 | 11.9.4.2 | 1.336.368.447.414.000 | 0,02 |
| 3 | 11.9.3.3 | 1.138.068.613.281.600 | 0,4 |
| 4 | 11.8.5.2 | 7.681.963.139.650.800 | 1,1 |
| 5 | 11.8.4.3 | 21.307.173.481.994.400 | 1,3 |
| 6 | 11.7.6.2 | 17.588.333.114.352.000 | 1,1 |
| 7 | 11.7.5.3 | 75.491.884.681.012.800 | 4,3 |
| 8 | 11.7.4.4 | 57.377.625.919.614.000 | 1,0 |
| 9 | 11.6.3.3 | 56.903.430.664.080.000 | 12,3 |
| 10 | 11.6.5.4 | 258.436.414.266.030.000 | 27,9 |
| 11 | 11.5.5.5 | 64.016.359.497.090.000 | 20,5 |
| | | 561.346.595.679.870.000 | 100,0 |



fit XII

Le linee con fit dodicesimo sono 22 delle 108 possibili, e più precisamente:

- 12.12.2.0 12.12.1.1 12.11.3.0
- 12.11.2.1 12.10.4.0 12.10.3.1
- 12.10.2.2 12.9.5.0 12.9.4.1
- 12.9.3.2 12.8.6.0 12.8.5.1
- 12.8.4.2 12.8.3.3 12.7.7.0
- 12.7.6.1 12.7.5.2 12.7.4.3
- 12.6.6.2 12.6.5.3 12.6.4.4
- 12.5.5.4

Partendo con una 4.4.3.2, le 13 linee dell'elenco con meno di due carte o con due doubleton (in blu) non è chiaramente possibile formarle e, pertanto, rimangono da analizzare le rimanenti 9.

La linea di doppio fit 12.9.3.2 può configurarsi in 2 modi diversi:

| Prg. | Ovest | Est | | | | linea EO | | | |
|------|---------|-----|---|---|---|----------|----|---|---|
| 1 | 4.4.3.2 | 8 | 5 | 0 | 0 | 12 | 9 | 3 | 2 |
| 2 | | 5 | 8 | 0 | 0 | 9 | 12 | 3 | 2 |

La popolazione di ognuna delle 2 linee 12.9.3.2 configurabili è esposta nella tabella che segue:

| L | Popolazione | F. rel. |
|---|---------------------------|-------------|
| 1 | 12.932.597.878.200 | 50% |
| 2 | 12.932.597.878.200 | 50% |
| | 25.865.195.756.400 | 100% |

Come potete dedurre esaminando i dati delle ultime due tabelle, i due fit si vengono sempre a formare in corrispondenza delle due quarte della mano di partenza.

La linea di doppio fit 12.9.3.2 può configurarsi in 2 modi diversi:

| Prg. | Ovest | Est | | | | linea EO | | | |
|------|---------|-----|---|---|---|----------|----|---|---|
| 1 | 4.4.3.2 | 8 | 4 | 0 | 1 | 12 | 8 | 3 | 3 |
| 2 | | 4 | 8 | 0 | 1 | 8 | 12 | 3 | 3 |

La popolazione di ognuna delle 2 linee 12.9.3.2 configurabili è esposta nella tabella che segue:

| L | Popolazione | F. rel. |
|---|----------------------------|-------------|
| 1 | 142.258.576.660.200 | 50% |
| 2 | 142.258.576.660.200 | 50% |
| | 284.517.153.320.400 | 100% |

Come potete dedurre esaminando i dati delle ultime due tabelle, anche stavolta, i due fit si vengono sempre a formare in corrispondenza delle due quarte della mano di partenza.

La linea di doppio fit 12.8.4.2 può configurarsi in 6 modi diversi:

| Prg. | Ovest | Est | | | | linea EO | | | |
|------|---------|-----|---|---|---|----------|----|----|---|
| 1 | 4.4.3.2 | 8 | 0 | 5 | 0 | 12 | 4 | 8 | 2 |
| 2 | | 8 | 4 | 1 | 0 | 12 | 8 | 4 | 2 |
| 3 | | 4 | 8 | 1 | 0 | 8 | 12 | 4 | 2 |
| 4 | | 0 | 8 | 5 | 0 | 4 | 12 | 8 | 2 |
| 5 | | 0 | 4 | 9 | 0 | 4 | 8 | 12 | 2 |
| 6 | | 4 | 0 | 9 | 0 | 8 | 4 | 12 | 2 |

La popolazione di ognuna delle 6 linee 12.8.4.2 configurabili è esposta nella tabella seguente:

| L | Popolazione | F. rel. |
|---|----------------------------|---------------|
| 1 | 25.865.195.756.400 | 7,63% |
| 2 | 129.325.978.782.000 | 38,14% |
| 3 | 129.325.978.782.000 | 38,14% |
| 4 | 25.865.195.756.400 | 7,63% |
| 5 | 14.369.553.198.000 | 4,24% |
| 6 | 14.369.553.198.000 | 4,24% |
| | 339.121.455.472.800 | 100,0% |

Come potete dedurre esaminando i dati delle ultime due tabelle, il fit dodicesimo si viene a formare in corrispondenza dei due colori quarti solo in due casi (76,3%), mentre, negli altri 4 casi i due fit si vengono a formare in corrispondenza di una quarta e del tripletton (23,7%).

La linea di fit 12.7.5.2 può configurarsi in 6 modi diversi:

| Prg. | Ovest | Est | | | | linea EO | | | |
|------|---------|-----|---|---|---|----------|----|----|---|
| 1 | 4.4.3.2 | 8 | 1 | 4 | 0 | 12 | 5 | 7 | 2 |
| 2 | | 8 | 3 | 2 | 0 | 12 | 7 | 5 | 2 |
| 3 | | 3 | 8 | 2 | 0 | 7 | 12 | 5 | 2 |
| 4 | | 1 | 8 | 4 | 0 | 5 | 12 | 7 | 2 |
| 5 | | 1 | 3 | 9 | 0 | 5 | 7 | 12 | 2 |
| 6 | | 3 | 1 | 9 | 0 | 7 | 5 | 12 | 2 |

La popolazione di ognuna delle 6 linee 12.7.5.2 configurabili è esposta nella tabella seguente:

| L | Popolazione | F. rel. |
|---|------------------------------|---------------|
| 1 | 193.988.968.173.000 | 14,52% |
| 2 | 387.977.936.346.000 | 29,03% |
| 3 | 387.977.936.346.000 | 29,03% |
| 4 | 193.988.968.173.000 | 14,52% |
| 5 | 86.217.319.188.000 | 6,45% |
| 6 | 86.217.319.188.000 | 6,45% |
| | 1.336.368.447.414.000 | 100,0% |

Come potete dedurre esaminando i dati delle ultime due tabelle, il fit dodicesimo si viene a formare in corrispondenza dei due colori quarti in 4 casi (87,1%), mentre, negli altri 2 casi i due fit (uno e uno) si vengono a formare in corrispondenza dei due colori corti e valgono il 6,45% ciascuno.

La linea di fit 12.7.4.3 può configurarsi in 12 modi diversi come mostrato nella tabella che segue:

| Prg. | Ovest | Est | | | | linea EO | | | |
|------|---------|-----|---|---|----|----------|----|----|----|
| 1 | 4.4.3.2 | 8 | 0 | 4 | 1 | 12 | 4 | 7 | 3 |
| 2 | | 8 | 0 | 0 | 5 | 12 | 4 | 3 | 7 |
| 3 | | 8 | 3 | 1 | 1 | 12 | 7 | 4 | 3 |
| 4 | | 8 | 3 | 0 | 2 | 12 | 7 | 3 | 4 |
| 5 | | 3 | 8 | 1 | 1 | 7 | 12 | 4 | 3 |
| 6 | | 3 | 8 | 0 | 2 | 7 | 12 | 3 | 4 |
| 7 | | 0 | 8 | 4 | 1 | 4 | 12 | 7 | 3 |
| 8 | | 0 | 8 | 0 | 5 | 4 | 12 | 3 | 7 |
| 9 | | 0 | 3 | 9 | 1 | 4 | 7 | 12 | 3 |
| 10 | | 0 | 3 | 0 | 10 | 4 | 7 | 3 | 12 |
| 11 | | 3 | 0 | 9 | 1 | 7 | 4 | 12 | 3 |
| 12 | | 3 | 0 | 0 | 10 | 7 | 4 | 3 | 12 |

| L | Popolazione | F. rel. |
|---|------------------------------|---------------|
| 1 | 443.403.355.824.000 | 42,86% |
| 2 | 147.801.118.608.000 | 14,29% |
| 3 | 443.403.355.824.000 | 42,86% |
| | 1.034.607.830.256.000 | 100,0% |

Come potete dedurre esaminando i dati delle ultime due tabelle, il fit dodicesimo si viene a formare in corrispondenza dei due colori quarti solo in due casi (85,7%), mentre, nel terzo caso si viene a formare in corrispondenza del tripleton (14,3%).

La linea di fit 12.6.5.3 può configurarsi in 12 modi diversi.

La popolazione di ognuna delle 12 linee 12.7.4.3 configurabili è esposta nella tabella seguente.

| L | Popolazione | F. rel. |
|----|------------------------------|---------------|
| 1 | 237.097.627.767.000 | 6,50% |
| 2 | 47.419.525.553.400 | 1,30% |
| 3 | 948.390.511.068.000 | 26,01% |
| 4 | 474.195.255.534.000 | 13,01% |
| 5 | 948.390.511.068.000 | 26,01% |
| 6 | 474.195.255.534.000 | 13,01% |
| 7 | 237.097.627.767.000 | 6,50% |
| 8 | 47.419.525.553.400 | 1,30% |
| 9 | 105.376.723.452.000 | 2,89% |
| 10 | 10.537.672.345.200 | 0,29% |
| 11 | 105.376.723.452.000 | 2,89% |
| 12 | 10.537.672.345.200 | 0,29% |
| | 3.646.034.631.439.200 | 100,0% |

Come potete dedurre esaminando i dati delle ultime due tabelle, il fit dodicesimo si viene a formare in corrispondenza di uno dei due colori quarti in 8 casi pari a circa il 93,6% del totale, mentre, nei rimanenti 4 casi pari a circa il 10,7% del totale, si configura in corrispondenza di uno dei due colori corti (2 e 2). In particolare, nel 5,8% in corrispondenza del tripleton e nello 0,6% in corrispondenza del doubleton.

La linea di fit 12.6.6.2 può configurarsi in 3 modi diversi:

| Prg. | Ovest | Est | | | | linea EO | | | |
|------|---------|-----|---|---|---|----------|----|----|---|
| 1 | 4.4.3.2 | 2 | 8 | 3 | 0 | 6 | 12 | 6 | 2 |
| 2 | | 2 | 2 | 9 | 0 | 6 | 6 | 12 | 2 |
| 3 | | 8 | 2 | 3 | 0 | 12 | 6 | 6 | 2 |

La popolazione di ognuna delle 3 linee 12.6.6.2 configurabili è esposta nella tabella seguente:

| Prg. | Ovest | Est | | | | linea EO | | | |
|------|---------|-----|---|---|----|----------|----|----|----|
| 1 | 4.4.3.2 | 8 | 1 | 3 | 1 | 12 | 5 | 6 | 3 |
| 2 | | 8 | 1 | 0 | 4 | 12 | 5 | 3 | 6 |
| 3 | | 8 | 2 | 2 | 1 | 12 | 6 | 5 | 3 |
| 4 | | 8 | 2 | 0 | 3 | 12 | 6 | 3 | 5 |
| 5 | | 2 | 8 | 2 | 1 | 6 | 12 | 5 | 3 |
| 6 | | 2 | 8 | 0 | 3 | 6 | 12 | 3 | 5 |
| 7 | | 1 | 8 | 3 | 1 | 5 | 12 | 6 | 3 |
| 8 | | 1 | 8 | 0 | 4 | 5 | 12 | 3 | 6 |
| 9 | | 1 | 2 | 9 | 1 | 5 | 6 | 12 | 3 |
| 10 | | 1 | 2 | 0 | 10 | 5 | 6 | 3 | 12 |
| 11 | | 2 | 1 | 9 | 1 | 6 | 5 | 12 | 3 |
| 12 | | 2 | 1 | 0 | 10 | 6 | 5 | 3 | 12 |

La popolazione di ognuna delle 12 linee 12.6.5.3 configurabili è esposta nella tabella seguente:

| L | Popolazione | F. rel. |
|----|------------------------------|---------------|
| 1 | 1.219.359.228.516.000 | 13,82% |
| 2 | 304.839.807.129.000 | 3,46% |
| 3 | 1.829.038.842.774.000 | 20,74% |
| 4 | 609.679.614.258.000 | 6,91% |
| 5 | 1.829.038.842.774.000 | 20,74% |
| 6 | 609.679.614.258.000 | 6,91% |
| 7 | 1.219.359.228.516.000 | 13,82% |
| 8 | 304.839.807.129.000 | 3,46% |
| 9 | 406.453.076.172.000 | 4,61% |
| 10 | 40.645.307.617.200 | 0,46% |
| 11 | 406.453.076.172.000 | 4,61% |
| 12 | 40.645.307.617.200 | 0,46% |
| | 8.820.031.752.932.400 | 100,0% |

Come potete dedurre esaminando i dati delle ultime due tabelle, il fit dodicesimo si viene a formare in corrispondenza di uno dei due colori quarti in 8 casi pari a circa l'89,9% del totale, mentre, nei rimanenti 4 casi pari a circa il 10,1% del totale, si configura in corrispondenza di uno dei due colori corti (2

e 2). In particolare, nel 9,2% in corrispondenza del tripleton e nello 0,9% in corrispondenza del doubleton.

La linea di fit 12.6.4.4 può configurarsi in 12 modi diversi:

| Prg. | Ovest | Est | | | | linea EO | | | |
|------|---------|-----|---|---|----|----------|----|----|----|
| 1 | | 8 | 2 | 1 | 2 | 12 | 6 | 4 | 4 |
| 2 | | 2 | 8 | 1 | 2 | 6 | 12 | 4 | 4 |
| 3 | | 2 | 0 | 9 | 2 | 6 | 4 | 12 | 4 |
| 4 | | 8 | 0 | 3 | 2 | 12 | 4 | 6 | 4 |
| 5 | | 0 | 2 | 9 | 2 | 4 | 6 | 12 | 4 |
| 6 | | 0 | 8 | 3 | 2 | 4 | 12 | 6 | 4 |
| 7 | 4.4.3.2 | 0 | 8 | 1 | 4 | 4 | 12 | 4 | 6 |
| 8 | | 0 | 2 | 1 | 10 | 4 | 6 | 4 | 12 |
| 9 | | 0 | 0 | 3 | 10 | 4 | 4 | 6 | 12 |
| 10 | | 0 | 0 | 9 | 4 | 4 | 4 | 12 | 6 |
| 11 | | 2 | 0 | 1 | 10 | 6 | 4 | 4 | 12 |
| 12 | | 8 | 0 | 1 | 4 | 12 | 4 | 4 | 6 |

La popolazione di ognuna delle 12 linee 12.6.4.4 configurabili è esposta nella tabella seguente:

| L | Popolazione | F. rel. |
|----|------------------------------|---------------|
| 1 | 2.032.265.380.860.000 | 30,37% |
| 2 | 2.032.265.380.860.000 | 30,37% |
| 3 | 225.807.264.540.000 | 3,37% |
| 4 | 677.421.793.620.000 | 10,12% |
| 5 | 225.807.264.540.000 | 3,37% |
| 6 | 677.421.793.620.000 | 10,12% |
| 7 | 338.710.896.810.000 | 5,06% |
| 8 | 45.161.452.908.000 | 0,67% |
| 9 | 15.053.817.636.000 | 0,22% |
| 10 | 37.634.544.090.000 | 0,56% |
| 11 | 45.161.452.908.000 | 0,67% |
| 12 | 338.710.896.810.000 | 5,06% |
| | 6.691.421.939.202.000 | 100,0% |

Come potete dedurre esaminando i dati delle



ultime due tabelle, il fit dodicesimo si viene a formare in corrispondenza di uno dei due colori quarti in 6 casi pari a circa il 91,1% del

totale, mentre, nei rimanenti 6 casi pari a circa il 8,9% del totale, si configura in corrispondenza di uno dei due colori corti (3 e 3).

In particolare, nel 7,3% in corrispondenza del tripleton e nell'1,6% in corrispondenza del doubleton.

La linea di fit 12.5.5.4 può configurarsi in 12 modi diversi:

| Prg. | Ovest | Est | | | | linea EO | | | |
|------|---------|-----|---|---|----|----------|----|----|----|
| 1 | | 8 | 0 | 2 | 3 | 12 | 4 | 5 | 5 |
| 2 | | 0 | 8 | 2 | 3 | 4 | 12 | 5 | 5 |
| 3 | | 0 | 1 | 9 | 3 | 4 | 5 | 12 | 5 |
| 4 | | 8 | 1 | 1 | 3 | 12 | 5 | 4 | 5 |
| 5 | | 1 | 0 | 9 | 3 | 5 | 4 | 12 | 5 |
| 6 | 4.4.3.2 | 1 | 8 | 1 | 3 | 5 | 12 | 4 | 5 |
| 7 | | 1 | 8 | 2 | 2 | 5 | 12 | 5 | 4 |
| 8 | | 1 | 0 | 2 | 10 | 5 | 4 | 5 | 12 |
| 9 | | 1 | 1 | 1 | 10 | 5 | 5 | 4 | 12 |
| 10 | | 1 | 1 | 9 | 2 | 5 | 5 | 12 | 4 |
| 11 | | 0 | 1 | 2 | 10 | 4 | 5 | 5 | 12 |
| 12 | | 8 | 1 | 2 | 2 | 12 | 5 | 5 | 4 |

La popolazione di ognuna delle 12 linee 12.5.5.4 configurabili è esposta nella tabella seguente:

| L | Popolazione | F. rel. |
|----|-------------------------------|---------------|
| 1 | 762.099.517.822.500 | 7,48% |
| 2 | 762.099.517.822.500 | 7,48% |
| 3 | 169.355.448.405.000 | 1,66% |
| 4 | 1.524.199.035.645.000 | 14,95% |
| 5 | 169.355.448.405.000 | 1,66% |
| 6 | 1.524.199.035.645.000 | 14,95% |
| 7 | 2.286.298.553.467.500 | 22,43% |
| 8 | 50.806.634.521.500 | 0,50% |
| 9 | 101.613.269.043.000 | 1,00% |
| 10 | 508.066.345.215.000 | 4,98% |
| 11 | 50.806.634.521.500 | 0,50% |
| 12 | 2.286.298.553.467.500 | 22,43% |
| | 10.195.197.993.981.000 | 100,0% |

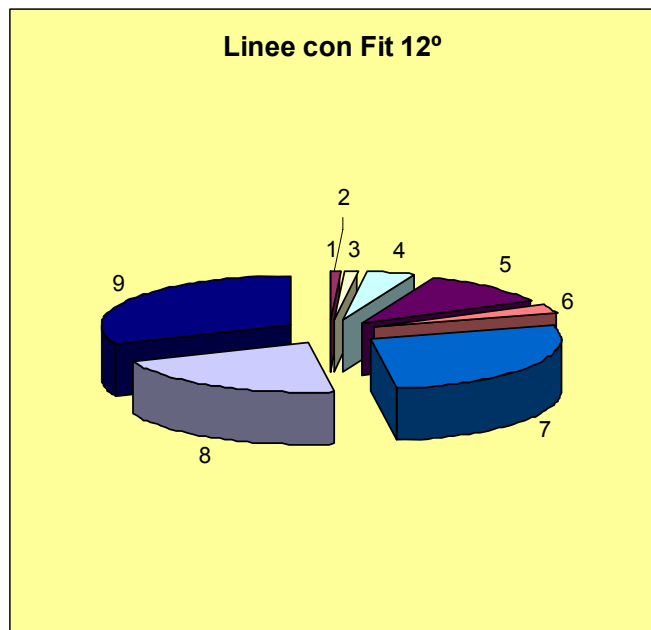
Come potete dedurre esaminando i dati delle ultime due tabelle, il fit dodicesimo si viene a formare in

corrispondenza di uno dei due colori quarti in 6 casi pari a circa l'89,7% del totale, mentre, nei rimanenti 6 casi pari a circa il 10,3% del totale, si configura in corrispondenza di uno dei due colori corti (3 e 3). In particolare, nell'8,3% in corrispondenza del tripleton e nel 2% in corrispondenza del doubleton.



E anche per il raro fit 12° è arrivato il momento di tirare i totali.

| Prg. | linea | Popolazione | % |
|------|----------|-------------------------------|--------------|
| 1 | 12.9.3.2 | 25.865.195.756.400 | 0,08 |
| 2 | 12.8.3.3 | 284.517.153.320.400 | 0,9 |
| 3 | 12.8.4.2 | 339.121.455.472.800 | 1,0 |
| 4 | 12.7.4.3 | 1.336.368.447.414.000 | 4,1 |
| 5 | 12.6.6.2 | 3.646.034.631.439.200 | 11,3 |
| 6 | 12.6.5.3 | 1.034.607.830.256.000 | 3,2 |
| 7 | 12.6.4.4 | 8.820.031.752.932.400 | 27,2 |
| 8 | 12.7.5.2 | 6.691.421.939.202.000 | 20,7 |
| 9 | 12.5.4.4 | 10.195.197.993.981.000 | 31,5 |
| | | 32.373.166.399.774.200 | 100,0 |



Siamo vicini al termine della nostra fatica, una volta esposti i dati relativi al rarissimo fit 13°, tireremo le conclusioni finali nel prossimo numero della rivista.

fit XIII

Le linee con fit tredicesimo sono 21 delle 108 possibili, e più precisamente:

| | | |
|-----------|-----------|-----------|
| 13.13.0.0 | 13.12.1.0 | 13.11.2.0 |
| 13.11.1.1 | 13.10.3.0 | 13.10.2.1 |
| 13.9.4.0 | 13.9.3.1 | 13.9.2.2 |
| 13.8.5.0 | 13.8.4.1 | 13.8.3.2 |
| 13.7.6.0 | 13.7.5.1 | 13.7.4.2 |
| 13.7.3.3 | 13.6.6.1 | 13.6.5.2 |
| 13.6.4.3 | 13.5.5.3 | 13.5.4.4 |

Partendo con una 4.4.3.2, le 14 linee dell'elenco con meno di due carte o con due doubleton (in blu) non è chiaramente possibile formarle e, pertanto, rimangono da analizzare le rimanenti 7.

La linea di doppio fit 13.8.3.2 può configurarsi in 2 modi diversi:

| Prg. | Ovest | Est | | | | linea EO | | | |
|------|---------|-----|---|---|---|----------|----|---|---|
| 1 | 4.4.3.2 | 8 | 4 | 0 | 1 | 12 | 8 | 3 | 3 |
| 2 | | 4 | 8 | 0 | 1 | 8 | 12 | 3 | 3 |

La popolazione di ognuna delle 2 linee 13.8.3.2 configurabili è esposta nella tabella che segue:

| L | Popolazione | F. rel. |
|---|----------------------------|-------------|
| 1 | 1.436.955.319.800 | 50% |
| 2 | 1.436.955.319.800 | 50% |
| | 284.517.153.320.400 | 100% |

Come potete dedurre esaminando i dati delle ultime due tabelle i due fit si vengono sempre a formare in corrispondenza delle due quarte della mano di partenza.

La linea di fit 13.5.4.4 può configurarsi in 12 modi diversi:

| Prg. | Ovest | Est | | | | linea EO | | | |
|------|---------|-----|---|----|----|----------|----|----|----|
| 1 | 4.4.3.2 | 9 | 1 | 1 | 2 | 13 | 5 | 4 | 4 |
| 2 | | 1 | 9 | 1 | 2 | 5 | 13 | 4 | 4 |
| 3 | | 1 | 0 | 10 | 2 | 5 | 4 | 13 | 4 |
| 4 | | 9 | 0 | 2 | 2 | 13 | 4 | 5 | 4 |
| 5 | | 0 | 1 | 10 | 2 | 4 | 5 | 13 | 4 |
| 6 | | 0 | 9 | 2 | 2 | 4 | 13 | 5 | 4 |
| 7 | | 0 | 9 | 1 | 3 | 4 | 13 | 4 | 5 |
| 8 | | 0 | 1 | 1 | 11 | 4 | 5 | 4 | 13 |
| 9 | | 0 | 0 | 2 | 11 | 4 | 4 | 5 | 13 |
| 10 | | 0 | 0 | 10 | 3 | 4 | 4 | 13 | 5 |
| 11 | | 1 | 0 | 1 | 11 | 5 | 4 | 4 | 13 |
| 12 | | 9 | 0 | 1 | 3 | 13 | 4 | 4 | 5 |

La popolazione di ognuna delle 12 linee 13.5.4.4 configurabili è esposta nella tabella seguente:

| L | Popolazione | F. rel. |
|----|----------------------------|---------------|
| 1 | 56.451.816.135.000 | 25,35% |
| 2 | 56.451.816.135.000 | 25,35% |
| 3 | 5.645.181.613.500 | 2,53% |
| 4 | 28.225.908.067.500 | 12,67% |
| 5 | 5.645.181.613.500 | 2,53% |
| 6 | 28.225.908.067.500 | 12,67% |
| 7 | 18.817.272.045.000 | 8,45% |
| 8 | 1.026.396.657.000 | 0,46% |
| 9 | 513.198.328.500 | 0,23% |
| 10 | 1.881.727.204.500 | 0,84% |
| 11 | 1.026.396.657.000 | 0,46% |
| 12 | 18.817.272.045.000 | 8,45% |
| | 222.728.074.569.000 | 100,0% |

Come potete dedurre esaminando i dati delle ultime due tabelle, il fit tredicesimo si viene a formare in corrispondenza di uno dei due colori quarti in 6 casi pari a circa il 92,9% del totale, mentre, nei rimanenti 6 casi pari a circa il 7,1% del totale, si configura in corrispondenza di uno dei due colori corti (3 e 3).

In particolare, nel 5,9% in corrispondenza del tripleton e nell'1,2% in corrispondenza del doubleton.

La linea di fit 13.6.4.3 può configurarsi in 12 modi diversi:

| Prg. | Ovest | Est | | | | linea EO | | | |
|------|---------|-----|---|----|----|----------|----|----|----|
| 1 | 4.4.3.2 | 9 | 2 | 1 | 1 | 13 | 6 | 4 | 3 |
| 2 | | 9 | 2 | 0 | 2 | 13 | 6 | 3 | 4 |
| 3 | | 9 | 0 | 3 | 1 | 13 | 4 | 6 | 3 |
| 4 | | 9 | 0 | 0 | 4 | 13 | 4 | 3 | 6 |
| 5 | | 0 | 9 | 3 | 1 | 4 | 13 | 6 | 3 |
| 6 | | 0 | 9 | 0 | 4 | 4 | 13 | 3 | 6 |
| 7 | | 2 | 9 | 1 | 1 | 6 | 13 | 4 | 3 |
| 8 | | 2 | 9 | 0 | 2 | 6 | 13 | 3 | 4 |
| 9 | | 2 | 0 | 10 | 1 | 6 | 4 | 13 | 3 |
| 10 | | 2 | 0 | 0 | 11 | 6 | 4 | 3 | 13 |
| 11 | | 0 | 2 | 10 | 1 | 4 | 6 | 13 | 3 |
| 12 | | 0 | 2 | 0 | 11 | 4 | 3 | 6 | 13 |



La popolazione di ognuna delle 12 linee 13.6.4.3 configurabili è esposta nella tabella seguente:

| L | Popolazione | F. rel. |
|----|----------------------------|---------------|
| 1 | 45.161.452.908.000 | 24,68% |
| 2 | 22.580.726.454.000 | 12,34% |
| 3 | 15.053.817.636.000 | 8,23% |
| 4 | 3.763.454.409.000 | 2,06% |
| 5 | 15.053.817.636.000 | 8,23% |
| 6 | 3.763.454.409.000 | 2,06% |
| 7 | 45.161.452.908.000 | 24,68% |
| 8 | 22.580.726.454.000 | 12,34% |
| 9 | 4.516.145.290.800 | 2,47% |
| 10 | 410.558.662.800 | 0,22% |
| 11 | 4.516.145.290.800 | 2,47% |
| 12 | 410.558.662.800 | 0,22% |
| | 182.972.310.721.200 | 100,0% |

Come potete dedurre esaminando i dati delle ultime due tabelle, il fit tredicesimo si viene a formare in corrispondenza di uno dei due colori quarti in 8 casi pari a circa il 94,6% del totale, mentre, nei rimanenti 4 casi pari a circa il 5,4% del totale, si configura in corrispondenza di uno dei due colori corti (2 e 2). In particolare, nel 4,9% in corrispondenza del tripleton e nello 0,5% in corrispondenza del doubleton.

La linea di fit 13.7.4.2 può configurarsi in 6 modi diversi:

| Prg. | Ovest | Est | | | | linea EO | | | |
|------|---------|-----|---|----|---|----------|----|----|---|
| 1 | 4.4.3.2 | 9 | 0 | 4 | 0 | 13 | 4 | 7 | 2 |
| 2 | | 9 | 3 | 1 | 0 | 13 | 7 | 4 | 2 |
| 3 | | 3 | 9 | 1 | 0 | 7 | 13 | 4 | 2 |
| 4 | | 0 | 9 | 4 | 0 | 4 | 13 | 7 | 2 |
| 5 | | 0 | 3 | 10 | 0 | 4 | 7 | 13 | 2 |
| 6 | | 3 | 0 | 10 | 0 | 7 | 4 | 13 | 2 |

La popolazione di ognuna delle 6 linee 13.7.4.2 configurabili è esposta nella tabella seguente:

| L | Popolazione | F. rel. |
|---|---------------------------|---------------|
| 1 | 2.394.925.533.000 | 9,26% |
| 2 | 9.579.702.132.000 | 37,04% |
| 3 | 9.579.702.132.000 | 37,04% |
| 4 | 2.394.925.533.000 | 9,26% |
| 5 | 957.970.213.200 | 3,70% |
| 6 | 957.970.213.200 | 3,70% |
| | 25.865.195.756.400 | 100,0% |

Come potete dedurre esaminando i dati delle ultime due tabelle, il fit tredicesimo si viene a formare in corrispondenza di uno dei due colori quarti in 4 casi (92,6%), mentre, negli altri 2 casi i due fit si vengono a formare in corrispondenza dei due colori corti (uno e uno) e valgono il 3,7% ciascuno.

La linea di fit 13.5.5.3 può configurarsi in 6 modi diversi:

| Prg. | Ovest | Est | | | | linea EO | | | |
|------|---------|-----|---|----|----|----------|----|----|----|
| 1 | 4.4.3.2 | 9 | 1 | 0 | 3 | 13 | 5 | 3 | 5 |
| 2 | | 1 | 9 | 0 | 3 | 5 | 13 | 3 | 5 |
| 3 | | 1 | 9 | 2 | 1 | 5 | 13 | 5 | 3 |
| 4 | | 1 | 1 | 0 | 11 | 5 | 5 | 3 | 13 |
| 5 | | 1 | 1 | 10 | 1 | 5 | 5 | 13 | 3 |
| 6 | | 9 | 1 | 2 | 1 | 13 | 5 | 5 | 3 |

La popolazione di ognuna delle 6 linee 13.5.5.3 configurabili è di seguito esposta:

| L | Popolazione | F. rel. |
|---|----------------------------|---------------|
| 1 | 16.935.544.840.500 | 11,55% |
| 2 | 16.935.544.840.500 | 11,55% |
| 3 | 50.806.634.521.500 | 34,66% |
| 4 | 923.756.991.300 | 0,63% |
| 5 | 10.161.326.904.300 | 6,93% |
| 6 | 50.806.634.521.500 | 34,66% |
| | 146.569.442.619.600 | 100,0% |

Come potete dedurre esaminando i dati delle ultime due tabelle, il fit tredicesimo si viene a formare in corrispondenza di uno dei due colori quarti in 4 casi (92,4%), mentre, negli altri 2 casi i due fit si vengono a formare in corrispondenza del tripleton (6,9%) e del doubleton (0,6%).

La linea di fit 13.6.5.3 può configurarsi in 6 modi diversi:

| Prg. | Ovest | Est | | | | linea EO | | | |
|------|---------|-----|---|----|---|----------|----|----|---|
| 1 | 4.4.3.2 | 9 | 1 | 3 | 0 | 13 | 5 | 6 | 2 |
| 2 | | 9 | 2 | 2 | 0 | 13 | 6 | 5 | 2 |
| 3 | | 2 | 9 | 2 | 0 | 6 | 13 | 5 | 2 |
| 4 | | 1 | 9 | 3 | 0 | 5 | 13 | 6 | 2 |
| 5 | | 1 | 2 | 10 | 0 | 5 | 6 | 13 | 2 |
| 6 | | 2 | 1 | 10 | 0 | 6 | 5 | 13 | 2 |

La popolazione di ognuna delle 6 linee 13.6.5.2 configurabili è esposta nella tabella seguente:

| L | Popolazione | F. rel. |
|---|---------------------------|---------------|
| 1 | 12.316.759.884.000 | 17,86% |
| 2 | 18.475.139.826.000 | 26,79% |
| 3 | 18.475.139.826.000 | 26,79% |
| 4 | 12.316.759.884.000 | 17,86% |
| 5 | 3.695.027.965.200 | 5,36% |
| 6 | 3.695.027.965.200 | 5,36% |
| | 68.973.855.350.400 | 100,0% |

Come potete dedurre esaminando i dati delle ultime due tabelle, il fit tredicesimo si viene a formare in corrispondenza di uno dei due colori quarti in 4 casi (89,3%), mentre, negli altri 2 casi si viene a formare in corrispondenza del tripleton (10,7%).



La linea di fit 13.7.3.3 può configurarsi in 2 modi diversi:

| Prg. | Ovest | Est | | | | linea EO | | | |
|------|---------|-----|---|---|---|----------|----|---|---|
| 1 | 4.4.3.2 | 9 | 3 | 0 | 1 | 13 | 7 | 3 | 3 |
| 2 | | 3 | 9 | 0 | 1 | 7 | 13 | 3 | 3 |

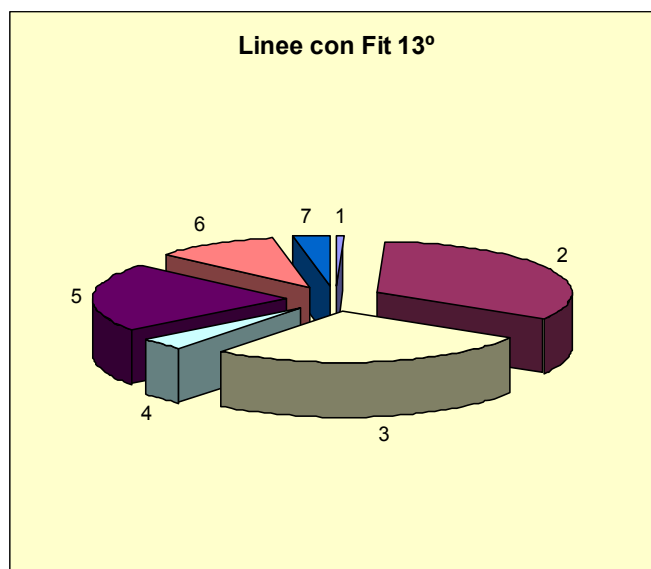
La popolazione di ognuna delle 2 linee 13.7.3.3 configurabili è esposta nella tabella che segue:

| L | Popolazione | F. rel. |
|---|---------------------------|-------------|
| 1 | 10.537.672.345.200 | 50% |
| 2 | 10.537.672.345.200 | 50% |
| | 21.075.344.690.400 | 100% |

Come potete dedurre esaminando i dati delle ultime due tabelle i due fit si vengono sempre a formare in corrispondenza di una delle due quarte della mano di partenza.

E, anche per il rarissimo fit 13° è arrivato il momento di tirare le somme:

| Prg. | linea | Popolazione | % |
|------|----------|----------------------------|--------------|
| 1 | 12.9.3.2 | 2.873.910.639.600 | 0,4 |
| 2 | 12.8.3.3 | 222.728.074.569.000 | 33,2 |
| 3 | 12.8.4.2 | 182.972.310.721.200 | 27,3 |
| 4 | 12.7.4.3 | 25.865.195.756.400 | 3,8 |
| 5 | 12.6.6.2 | 146.569.442.619.600 | 21,8 |
| 6 | 12.6.5.3 | 68.973.855.350.400 | 10,3 |
| 7 | 12.6.4.4 | 21.075.344.690.400 | 3,1 |
| 8 | 12.7.5.2 | 2.873.910.639.600 | 0,4 |
| 9 | 12.5.4.4 | 222.728.074.569.000 | 33,2 |
| | | 671.058.134.346.600 | 100,0 |



continua

La Tabella di Rosenkranz

Nel prossimo articolo troverete la biografia breve di quello che è uno dei bridgisti più conosciuti al mondo: George Rosenkranz.

Ungherese di nascita, chimico di fama internazionale, è stato uno dei primi ad applicare la statistica al bridge.

La sua tabella di ricorrenza dei controlli in funzione dei PO è stata usata dai sistemisti di mezzo mondo.

In un periodo in cui andavano di gran moda i sistemi a base di fiori forte basati sulle risposte a controlli, George si chiese quali fossero le probabilità che una mano costituita da un certo numero di PO, ne possedesse un certo numero.

Questa conoscenza permette, infatti, di scalettare opportunamente le risposte in funzione del range di forza conosciuto per la mano del compagno.

Come è noto a tutti, i controlli sono 12 e si computano assegnando due punti per ogni Asso ed un punto per ogni Re.

Opportunamente ricalcolata la tabella di Rosenkraz viene mostrata nella prossima pagina.

La colonna “%” rappresenta la frequenza della mano con il punteggio di riga, mentre, nelle colonne relative al numero dei controlli viene indicata la probabilità percentuale di ritrovarli in una mano avente il punteggio di riga.

Ad esempio, una mano di 3 PO la si può incontrare circa 2 volte e mezzo su 100 (2,462) e la probabilità che i 3 PO siano formati proprio da un Re è pari a quasi il 68% (67,9).

Sempre a titolo di esempio, se volete sapere quanti controlli avrà mediamente il compagno che apre di 1SA forte (15-17), sarà sufficiente fare un po' di calcoli prendendo in esame le righe relative al punteggio in questione, per trovare:

| Controlli | Probabilità % |
|-----------|---------------|
| 1 | ≈ 0 |
| 2 | 0,16 |
| 3 | 2,81 |
| 4 | 16,91 |
| 5 | 37,20 |
| 6 | 31,81 |
| 7 | 10,78 |
| 8 | 0,34 |
| Totale | 100,0 |

La probabilità di trovargli 5 controlli è massima ed è superiore al 37%, mentre, in oltre l'80% dei casi troverete nella sua mano almeno 5 controlli.



Tabella di Rosenkranz

| PO | Probabilità % di presenza di Controlli x PO | | | | | | | | | | | | % | Totale | | |
|----|---|------|------|------|------|------|------|------|------|------|------|------|------|--------|-------------|-------|
| | 0 | 1 | 2 | 3 | 4 | 5 | 6 | 7 | 8 | 9 | 10 | 11 | | | 12 | |
| 0 | 100 | | | | | | | | | | | | | | 0,364 | 100,0 |
| 1 | 100 | | | | | | | | | | | | | | 0,788 | 100,0 |
| 2 | 100 | | | | | | | | | | | | | | 1,356 | 100,0 |
| 3 | 67,9 | 32,1 | | | | | | | | | | | | | 2,462 | 100,0 |
| 4 | 40,2 | 39,3 | 20,5 | | | | | | | | | | | | 3,845 | 100,0 |
| 5 | 23,3 | 47,6 | 29,1 | | | | | | | | | | | | 5,186 | 100,0 |
| 6 | 10,8 | 42,7 | 46,4 | | | | | | | | | | | | 6,554 | 100,0 |
| 7 | 4,4 | 29,9 | 65,7 | | | | | | | | | | | | 8,028 | 100,0 |
| 8 | 1,5 | 19,5 | 43,9 | 28,8 | 6,4 | | | | | | | | | | 8,892 | 100,0 |
| 9 | 0,4 | 10,0 | 34,9 | 44,3 | 10,3 | | | | | | | | | | 9,36 | 100,0 |
| 10 | 0,1 | 4,6 | 23,1 | 46,1 | 26,1 | | | | | | | | | | 9,41 | 100,0 |
| 11 | | 1,7 | 13,9 | 40,6 | 33,1 | 10,7 | | | | | | | | | 8,942 | 100,0 |
| 12 | | 0,5 | 7,0 | 31,0 | 41,7 | 17,7 | 2,0 | | | | | | | | 8,024 | 100,0 |
| 13 | | 0,1 | 3,0 | 19,1 | 40,3 | 34,0 | 3,5 | | | | | | | | 6,92 | 100,0 |
| 14 | | | 1,1 | 10,5 | 33,1 | 39,7 | 15,5 | | | | | | | | 5,693 | 100,0 |
| 15 | | | 0,3 | 4,8 | 24,1 | 42,5 | 22,9 | 5,4 | | | | | | | 4,424 | 100,0 |
| 16 | | | 0,1 | 1,8 | 14,1 | 37,2 | 37,2 | 9,2 | 0,5 | | | | | | 3,31 | 100,0 |
| 17 | | | | 0,6 | 7,3 | 27,2 | 41,0 | 23,1 | 0,8 | | | | | | 2,361 | 100,0 |
| 18 | | | | 0,1 | 2,9 | 17,8 | 40,3 | 30,1 | 8,8 | | | | | | 1,603 | 100,0 |
| 19 | | | | | 1,1 | 9,4 | 33,3 | 40,1 | 14,3 | 1,8 | | | | | 1,035 | 100,0 |
| 20 | | | | | 0,3 | 4,4 | 22,1 | 39,8 | 30,2 | 3,3 | | | | | 0,6432 | 100,0 |
| 21 | | | | | | 1,6 | 13,3 | 35,3 | 36,9 | 13,0 | | | | | 0,37706 | 100,0 |
| 22 | | | | | | 0,5 | 6,2 | 26,9 | 43,6 | 19,1 | 3,8 | | | | 0,21005 | 100,0 |
| 23 | | | | | | 0,1 | 2,4 | 16,4 | 40,1 | 34,4 | 6,6 | | | | 0,11178 | 100,0 |
| 24 | | | | | | 0,0 | 0,7 | 9,1 | 31,5 | 39,5 | 19,2 | | | | 0,05589 | 100,0 |
| 25 | | | | | | | 0,2 | 3,8 | 21,6 | 43,8 | 26,0 | 4,7 | | | 0,02641 | 100,0 |
| 26 | | | | | | | | 1,3 | 11,7 | 39,0 | 39,9 | 8,1 | | | 0,01166 | 100,0 |
| 27 | | | | | | | | 0,2 | 3,3 | 29,2 | 42,9 | 24,4 | | | 0,004801 | 100,0 |
| 28 | | | | | | | | 0,1 | 1,9 | 18,8 | 43,1 | 32,8 | 3,2 | | 0,001857 | 100,0 |
| 29 | | | | | | | | | 0,4 | 8,8 | 35,5 | 49,6 | 5,5 | | 0,00066700 | 100,0 |
| 30 | | | | | | | | | | 3,6 | 24,5 | 51,8 | 20,0 | | 0,00022000 | 100,0 |
| 31 | | | | | | | | | | 1,6 | 16,4 | 52,5 | 29,5 | | 0,00006100 | 100,0 |
| 32 | | | | | | | | | | | 5,9 | 41,2 | 52,9 | | 0,00001700 | 100,0 |
| 33 | | | | | | | | | | | 2,8 | 26,8 | 70,4 | | 0,00000351 | 100,0 |
| 34 | | | | | | | | | | | 1,4 | 14,1 | 84,5 | | 0,000000710 | 100,0 |
| 35 | | | | | | | | | | | | 3,8 | 96,2 | | 0,000000098 | 100,0 |
| 36 | | | | | | | | | | | | | 100 | | 0,000000010 | 100,0 |
| 37 | | | | | | | | | | | | | 100 | | 0,000000001 | 100,0 |

BIOGRAFIE

George Rosenkranz

Chi non ha sentito parlare di George Rosenkranz il celebre chimico e ricercatore che ha completato importanti studi sul cortisone e che ha inventato la pillola per il controllo delle nascite?

Molto pochi, ma un numero più grande di persone non è a conoscenza della sua grande passione per il bridge.



György nasce in Ungheria a Budapest il 20 agosto del 1916, ma studia a Zurigo dove si laurea in chimica organica e ha modo di conoscere Jean Besse che gli presenta fuggelvolmente il Bridge.

Nel 1941 a causa dello scoppio del secondo conflitto mondiale, non riesce a raggiungere Quito dove aveva ottenuto una cattedra universitaria, e si trasferisce, invece, a Cuba come direttore di una casa farmaceutica rimanendovi fino al 1945. Dopo la guerra accetta un lavoro in Mexico City e lì dopo aver fondato la Syntex Corporation, prende la cittadinanza messicana.

In questa metropoli, George si riavvicina al vecchio amore e riprende a giocare a Bridge, diventando oltre che un giocatore, anche uno studioso della filosofia del gioco.

Rapidamente acquista fama internazionale e rappresenta il suo Paese d'adozione in decine di tornei

internazionali tanto da diventare il primo Life Master messicano della storia del bridge.

Nel 1983 partecipa alla Bermuda Bowl con la squadra americana accedendo alle semifinali.

Nel suo palmares di World Master figurano tra molti altri trofei anche 12 North American Bridge Championships e tra questi: 3 Vanderbilt, 2 Spingold, 2 Mitchell ed una Reisinger.

Durante la Spingold del 1984 viene preannunciato alle cronache il rapimento di sua moglie Edith avvenuto nel garage dello Sheraton Hotel di Washington giovedì 19 luglio (lo stesso albergo in cui si disputava il campionato).

George pagò immediatamente un riscatto di un milione di dollari e poté riabbracciare la consorte già la sera di sabato 20 luglio. In questa storia finì bene proprio tutto perché, mentre George era impegnato nelle trattative con i rapitori, la sua squadra vinse la Spingold, e inoltre, poco più tardi la polizia recuperò il riscatto.

Il curioso in questa storia è che il cervello della banda dei rapitori, un certo Glenn Wright che venne arrestato dalla polizia di Washington, era un bridgista che stava partecipando ai campionati estivi!!

Non si sa come, ma George ha anche trovato il tempo per scrivere una decina di libri e di creare il noto sistema licitativo Romex.

I suoi studi sulla fase dichiarativa sono ben noti ed alcune sue invenzioni come il *Contro Rosenkranz*, sono usate dai giocatori di mezzo mondo.

In particolare George ha rielaborato le *Denial Cue Bid* ribattezzandole con il più immaginifico nome di *Spiral Cue Bid*.

La sua tabella di ricorrenza dei controlli (vedi articolo precedente) è stata usata

dai teorici di mezzo mondo e rappresenta uno dei primi seri tentativi di applicare la statistica al bridge.

Nel 2000 la A.C.B.L. gli ha concesso l'onore di far parte della *Hall of Fame*, dopo che 10 anni prima gli aveva conferito il prestigioso titolo di giocatore dell'anno.

George ha avuto un lungo e felice matrimonio con *Edith Stein*, viennese di nascita che conobbe nel 1942 a L'Avana.

Edith, che è a sua volta una valente bridgista che nel suo palmares annovera tre NABC, gli ha dato tre figli: Roberto, Gerardo e Riccardo.

ANEDDOTI



L'umorismo di Fishbein

Harry Fishbein che sarebbe diventato il titolare del famoso Mayfair Club di New York aveva un bizzarro senso dell'umorismo di cui dava spesso sfoggio.



Ancor giovane, un giorno mentre aspettava di iniziare un torneo fu avvicinato da una donna che in tono concitato gli chiese: ho sentito che in sala c'è Harry Fishbein che ha vinto il master

individuale dell'anno scorso, saprebbe indicarmelo.

Harry esaminò attentamente l'intero salone e poi disse: a dire la verità signora non riesco proprio a vederlo, però può chiedere al direttore di sala, lui sa tutto di tutti.

LICITA



La Zanzibar

Una convenzione che ultimamente è sempre più usata da molti giocatori di circolo è la Zanzibar.

Non ho idea di perché porti questo nome, ma fa parte del filone delle licite ambigue

che è uno di quelli che, a mio modesto avviso, caratterizzerà il bridge di domani.

Consiste nel dichiarare 2♦ sull'apertura di 1♥ del compagno o, nel classico significato di mano positiva con le quadri o, per mostrare una debole mano di appoggio.

In questo modo, il rialzo diretto del colore di apertura può essere dedicato in maniera esclusiva alle mani di appoggio costruttive.

Le repliche previste per l'apertore sono convenzionali e a gradino:

| | | |
|-----|----|---|
| 1♥ | 2♦ | Appoggio debole o mano positiva con le quadri |
| 2♥ | | Apertura di diritto qualsiasi |
| 2♠ | | Rovescio minimo (15/17) |
| 2SA | | Rovescio Intermedio (17/19) |
| 3♣ | | Rovescio Massimo (20+) |

Dopo la ripetizione del colore di apertura, il rispondente può chiarire meglio le fattezze della sua mano seguendo queste linee guida:

| | | |
|----|------|--|
| 1♥ | 2♦ | |
| 2♥ | P | Mano debole con aiuto a cuori |
| | 2♠ | Mano positiva qualsiasi con 5+ quadri e con 3+ cuori |
| | 2SA | Apertura qualsiasi con 5+ quadri e doppio a cuori |
| | 3♣♦♠ | Apertura qualsiasi bicolore o monocolore con brevità a cuori |
| | 3♥ | 7/8 e aiuto quarto, come complemento del passo |

Nel caso di rispondente positivo con appoggio al colore di apertura, l'apertore si chiarifica come segue:

| | | |
|-----|----|--|
| 1♥ | 2♦ | |
| 2♥ | 2♠ | |
| 3♣♠ | | Apertura di diritto bicolore 15-16 senza tre carte di quadri |
| 3♦ | | Doppio fit (con 3+ ♦) |
| 3♥ | | Monocolore sesta senza tre carte di quadri |
| 2SA | | Interrogativa in genere con apertura unicolore (5.3.3.2♦) |

Sono possibili diverse varianti, ma lo spirito della convenzione è ben riassunto in questi schemi.

Opinioni

Una Partita a carte per invecchiare meglio

La socializzazione è un aspetto fondamentale della vita a tutte le età e il gioco è un'attività che favorisce lo stare insieme. È quanto fa anche il gioco con le carte. Un passatempo antichissimo, le cui origini risalgono al X secolo in Cina, mentre in Europa sembra arrivare non prima del XIV secolo probabilmente dall'Egitto e ancor prima dalla Persia.

Oggi sono numerosi i circoli o altri luoghi di ritrovo, come il bar del paese, nei quali si organizzano tornei di carte a testimonianza che si tratta di un'attività ancora viva, in grado peraltro di apportare benefici, specie nelle persone in età avanzata che presentano deficit cognitivi.

“Importanti studi epidemiologici hanno dimostrato che tra i principali fattori in grado di rallentare il decadimento cognitivo ci sono: la sana attività fisica e una vivace vita sociale, caratterizzata da attività ludiche”, spiega Antonio Cerasa dell'Istituto di bioimmagini e fisiologia molecolare (Ibfm) del Cnr.

Analizzando 29.000 persone di 22 paesi diversi, M. J. Valenzuela e colleghi (cfr. più avanti un abstract in lingua inglese) hanno addirittura dimostrato che gli anziani coinvolti in attività ludiche riducono di quasi il 50% il rischio di sviluppare demenza; e tra le attività ludiche più conosciute c'è sicuramente il gioco delle carte.

Risultati ottenuti anche dai ricercatori dell'Istituto di neuroscienze e dell'Istituto di fisiologia clinica del Cnr di Pisa nello studio *'Train the brain'* (cfr. abstract e video più avanti).

Il gioco delle carte, che sia briscola, burraco o altro, favorisce due particolari processi: la socializzazione e le strategie di problem solving, prosegue il ricercatore dell'Ibfm-Cnr. La socializzazione è un termine ombrello che contiene in sé

numerose attività cognitive, correlate tra di loro, che possono allenare il cervello: dall'uso del linguaggio verbale che ci spinge a scambiare opinioni e pensieri al linguaggio non-verbale con cui esprimiamo le nostre emozioni e contemporaneamente interpretiamo quelle degli altri.

Le strategie di problem solving riguardano invece le capacità di calcolo, verifica e progettazione delle proprie azioni in funzione della vincita finale.

Qualsiasi gioco, infatti, è finalizzato al raggiungimento di un target e questo comporta la scelta di azioni e soluzione di problemi in maniera continuativa.

Comunque le persone anziane hanno oggi, riguardo al gioco, un vantaggio rispetto ai giovani, mentre i ragazzi giocano a carte con i loro computer o con gli smart phone chiusi nelle loro stanze, gli anziani allenano la mente sfruttando un importante processo che ha permesso all'essere umano di evolversi: la socializzazione.

Romina De Donato

Fonte: Antonio Cerasa, Istituto di bioimmagini e fisiologia molecolare, Catanzaro.

Abstract: Brain reserve and dementia: a systematic review

BACKGROUND:

Behavioural brain reserve is a property of the central nervous system related to sustained and complex mental activity which can lead to differential expression of brain injury. Behavioural brain reserve has been assessed using autobiographical data such as education levels, occupational complexity and mentally stimulating lifestyle pursuits. So far there have been several epidemiological reports but no systematic review to put conflicting results into context. Our aim was to quantitatively review evidence for the effect of brain reserve on incident dementia.

METHOD:

Cohort studies of the effects of education, occupation, premorbid IQ and mental activities on dementia risk were of interest. Abstracts were identified in MEDLINE (1966-September 2004), CURRENT CONTENTS (to September, 2004), PsychINFO (1984-September 2004), Cochrane Library Databases and reference lists from relevant articles. Twenty-two studies met inclusion criteria. Key information was extracted by both reviewers onto a standard template with a high level of agreement. Studies were combined through a quantitative random-effects meta-analysis.

RESULTS:

Higher brain reserve was associated with a lowered risk for incident dementia (summary odds ratio, 0.54; 95% confidence interval, 0.49-0.59). This effect was found over a median of 7.1 years follow-up and resulted from integrating data across more than 29000 individuals. Notably, increased complex mental activity in late life was associated with lower dementia rates independent of other predictors; a dose-response relationship was also evident between extent of complex mental activities in late life and dementia risk.

CONCLUSIONS:

This study demonstrates robust evidence that complex patterns of mental activity in the early, mid- and late-life stages is associated with a significant reduction in dementia incidence. Randomized control trials based on brain-reserve principles are now required.

Abstract e video "Train the brain"

Presentato, all'area della ricerca di Pisa, il progetto "Train the brain", condotto dagli Istituti di neuroscienze e fisiologia clinica del Cnr, dall'Accademia dei Lincei e dall'Università di Pisa. Scopo dello studio? Verificare la possibilità di rallentare la progressione della demenza, ormai dichiarata emergenza mondiale, sia per l'assenza di trattamenti farmacologici in grado di bloccare la malattia, sia per l'aumento esponenziale della popolazione "anziana".

Il progetto prevede un percorso combinato di esercizi fisici e di training cognitivi. I ricercatori hanno sottoposto al ciclo di trattamenti soggetti con deficit cognitivo lieve, predittivo di un potenziale sviluppo dell'Alzheimer o di demenza vascolare.

I risultati, nel tempo, hanno dimostrato miglioramenti nei pazienti coinvolti nel percorso dei trattamenti fisici e neurologici. Gli stimoli esterni rappresentano strumenti indispensabili nel processo di rallentamento della demenza.

http://www.cnrweb.tv/wp-content/themes/web-tv/embedcnr.php?vi=http%3A%2F%2Fwww.cnrweb.tv%2Fvideo%2Ftrain_brain21052014.m4v&th=undefined

Spigolature



Pentalogo (di Charles Schulz)

- 1) Non vi è possibilità di trasmissione di malattie (eccetto la costrizione a giocare a bridge)
- 2) È accettabile giocare con un totale sconosciuto
- 3) Non devi restar con il tuo partner per il resto della vita
- 4) Il partner non è geloso delle persone con cui hai giocato a lungo prima di lui
- 5) Il partner non dirà mai: ancora? Ma abbiamo giocato appena la scorsa settimana!

